

1/19

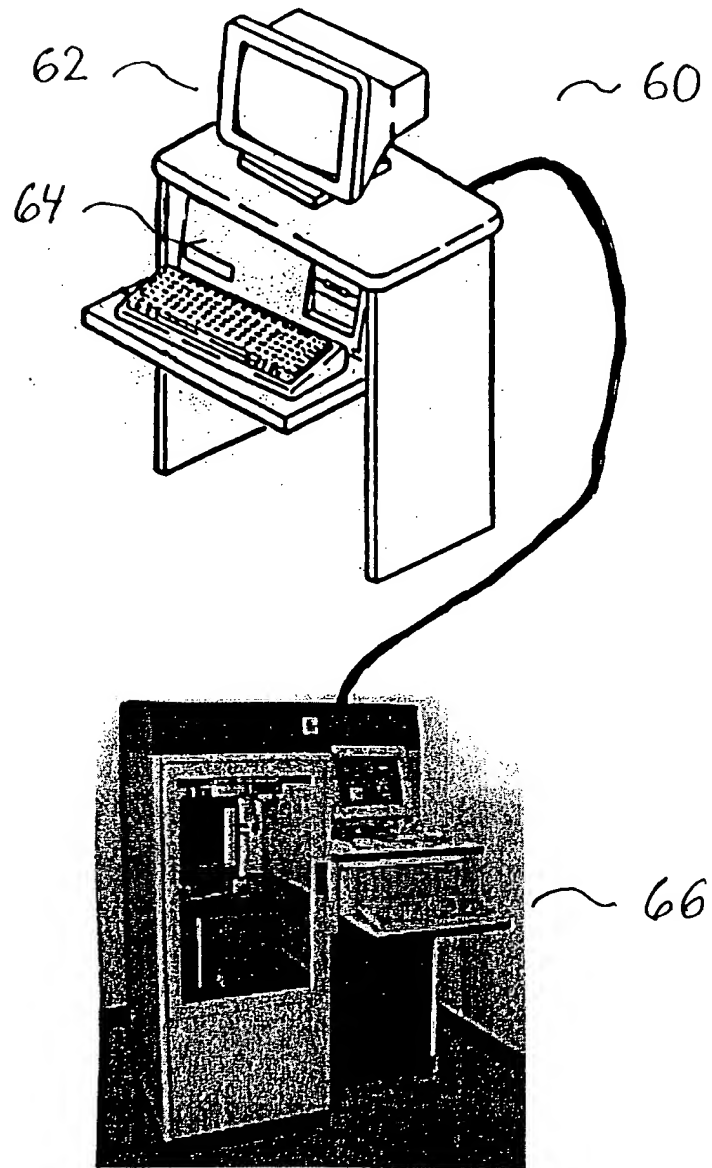


Fig. 1

2/19

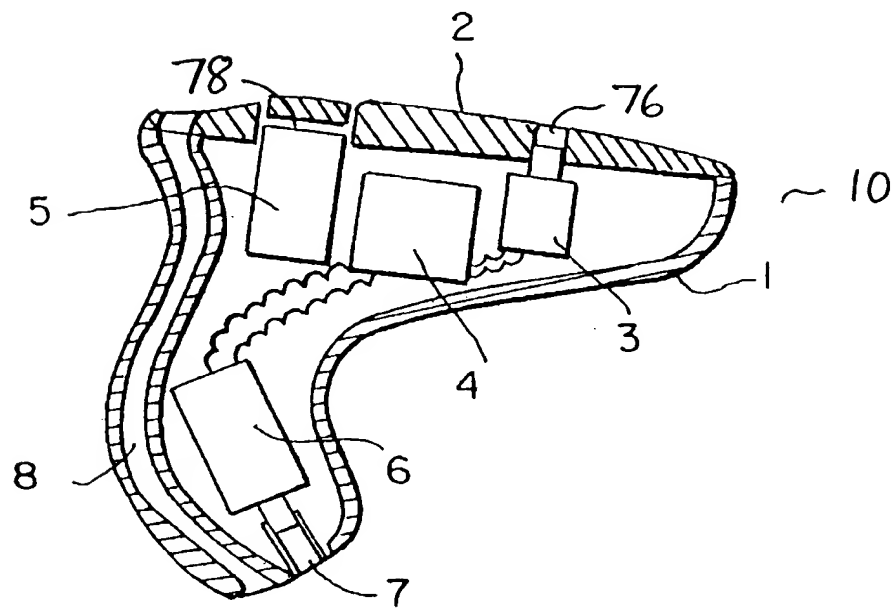


Fig. 2

3/19

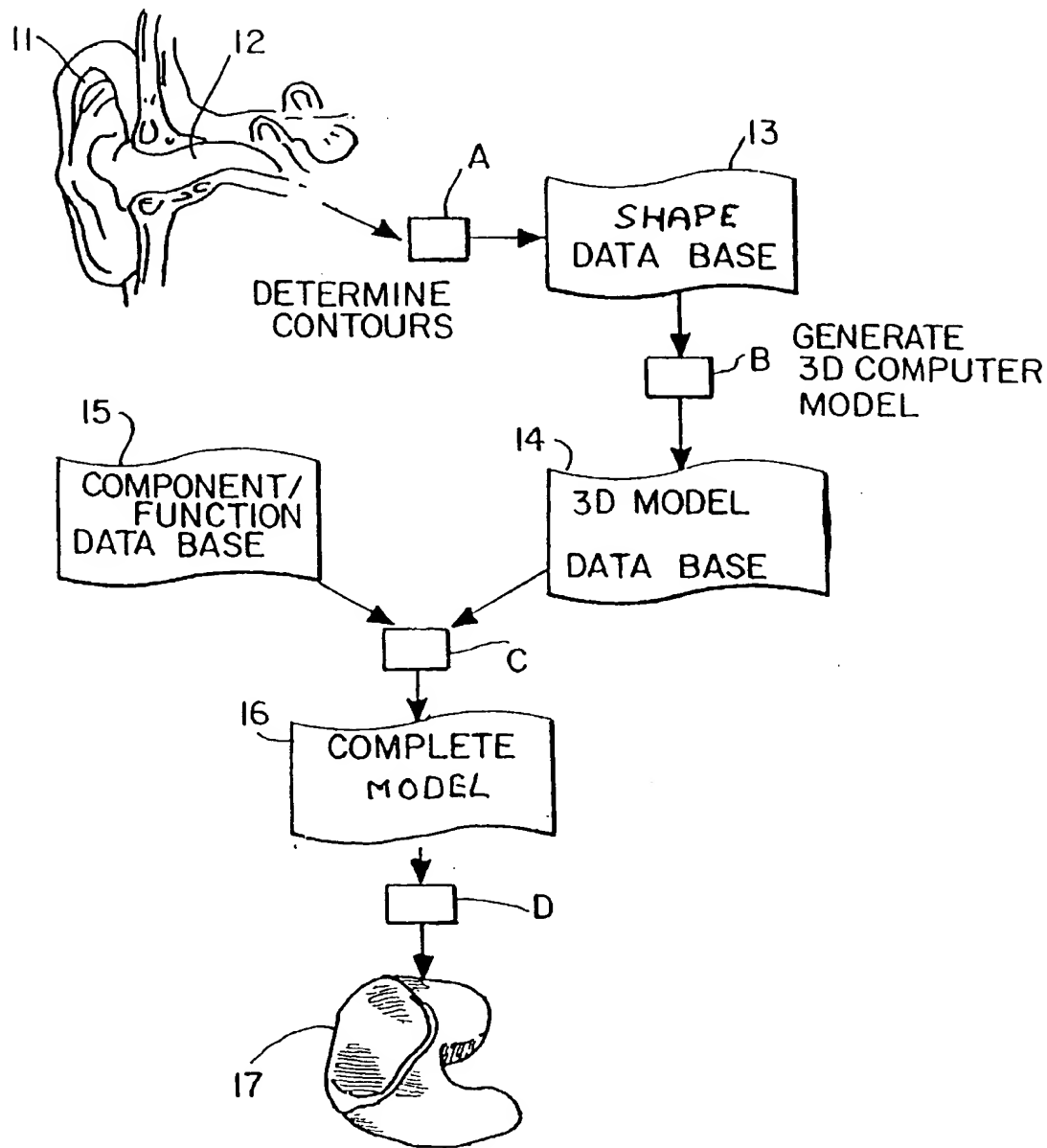


Fig. 3

4/19

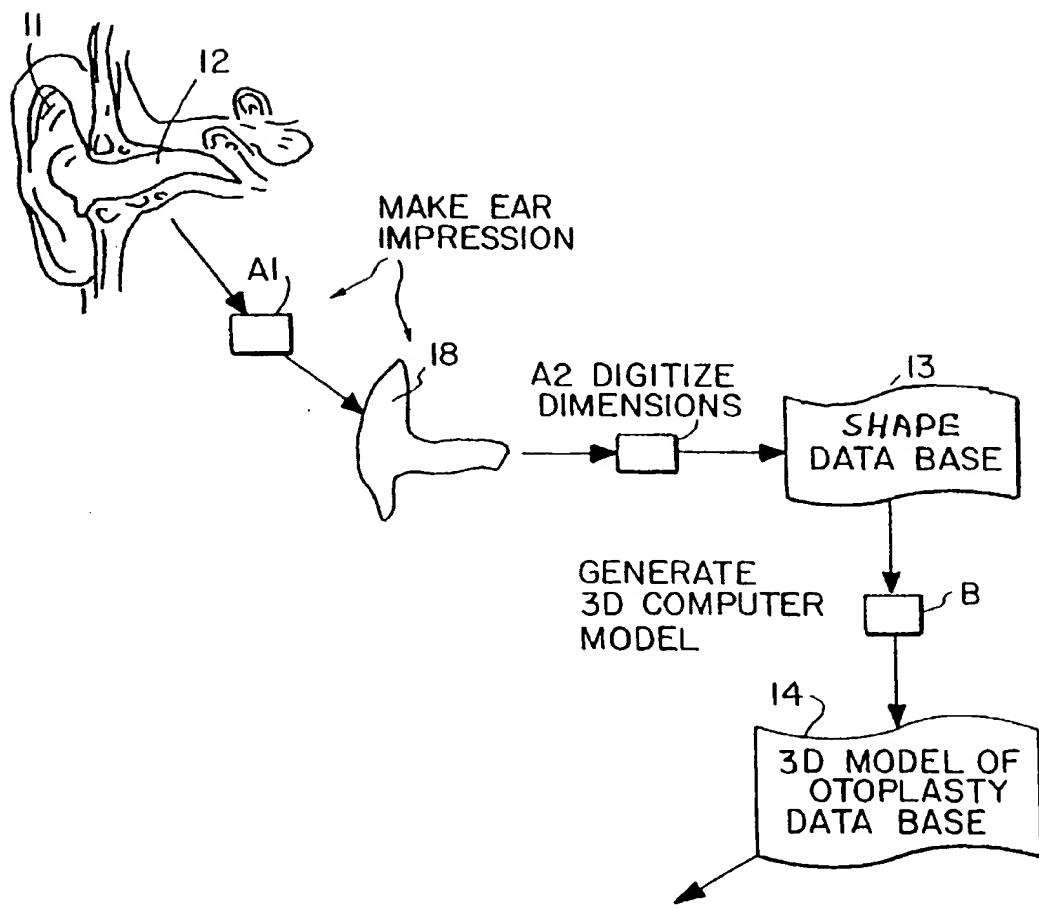


Fig. 4

5/19

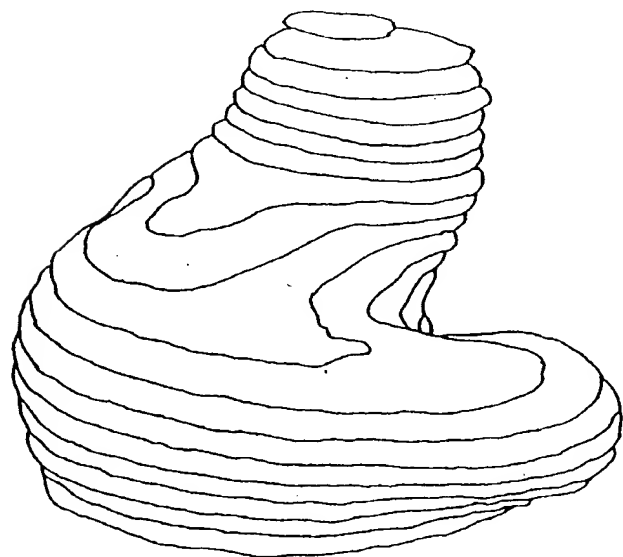


Fig. 5

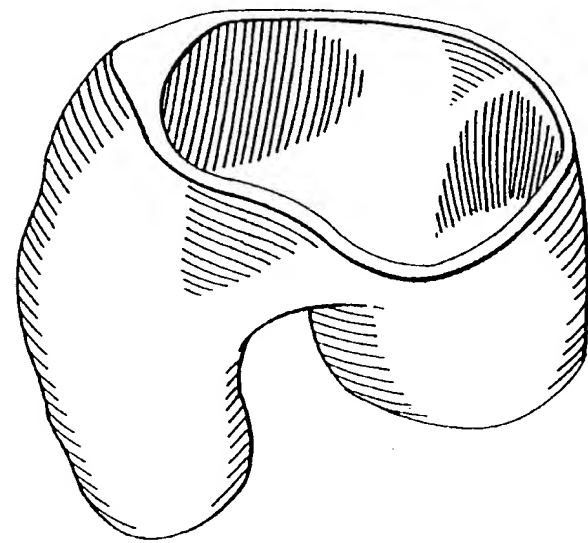


Fig. 6

6/19

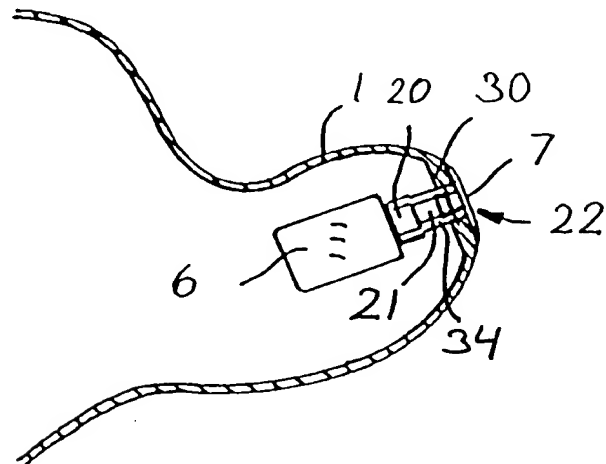


Fig. 7

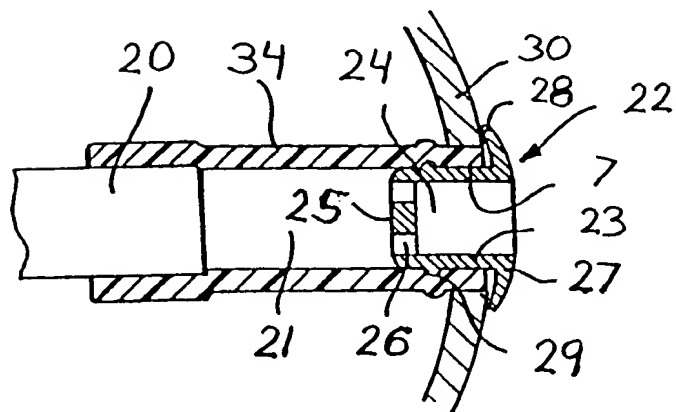


Fig. 8

7/19

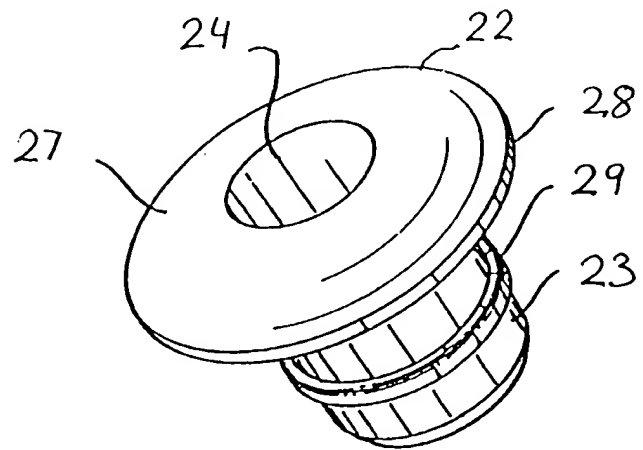


Fig. 9

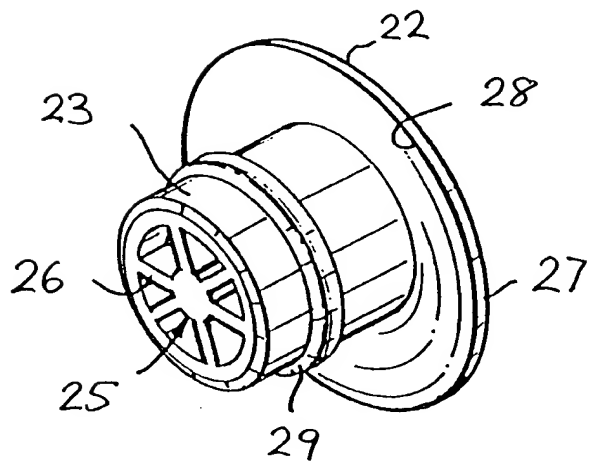


Fig. 10

8/19

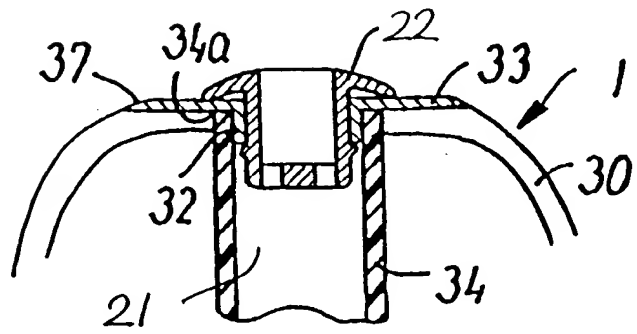


Fig. 11

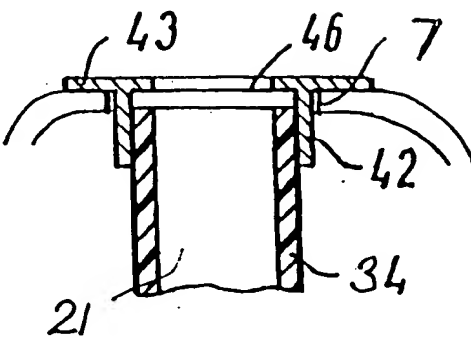


Fig. 12

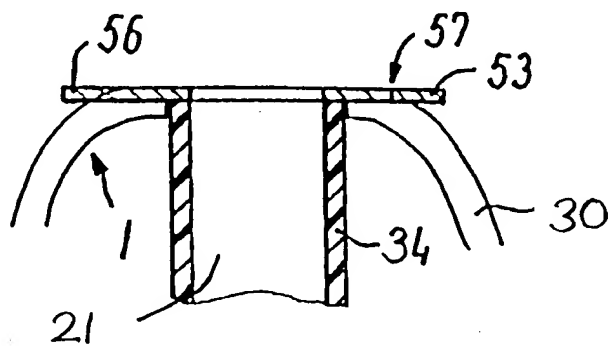


Fig. 13

9/19

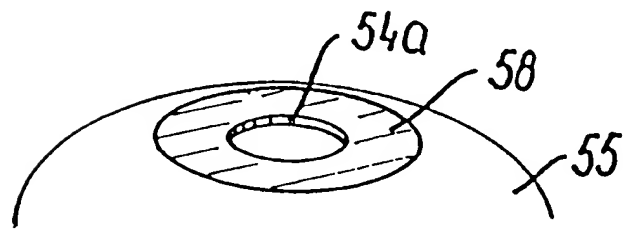


Fig. 14

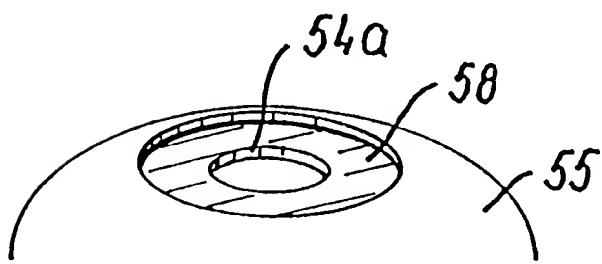


Fig. 15

10/19

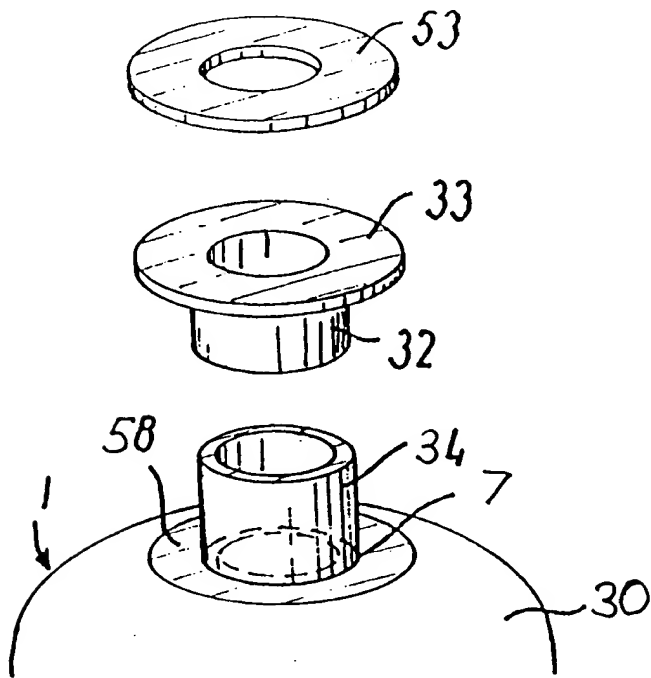


Fig. 16

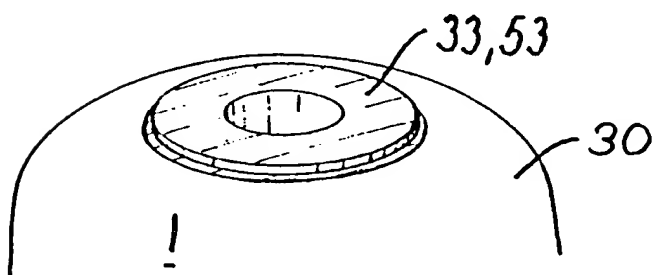


Fig. 17

11/19

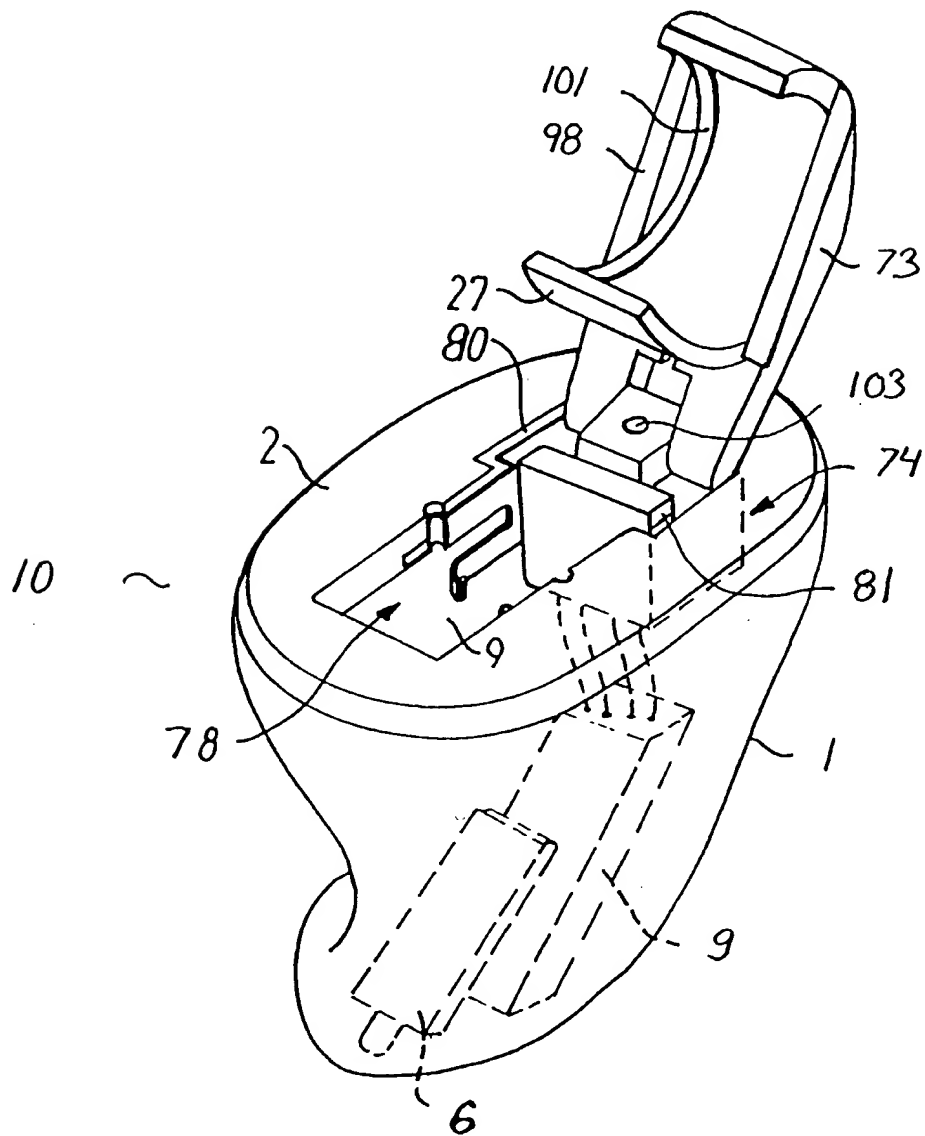
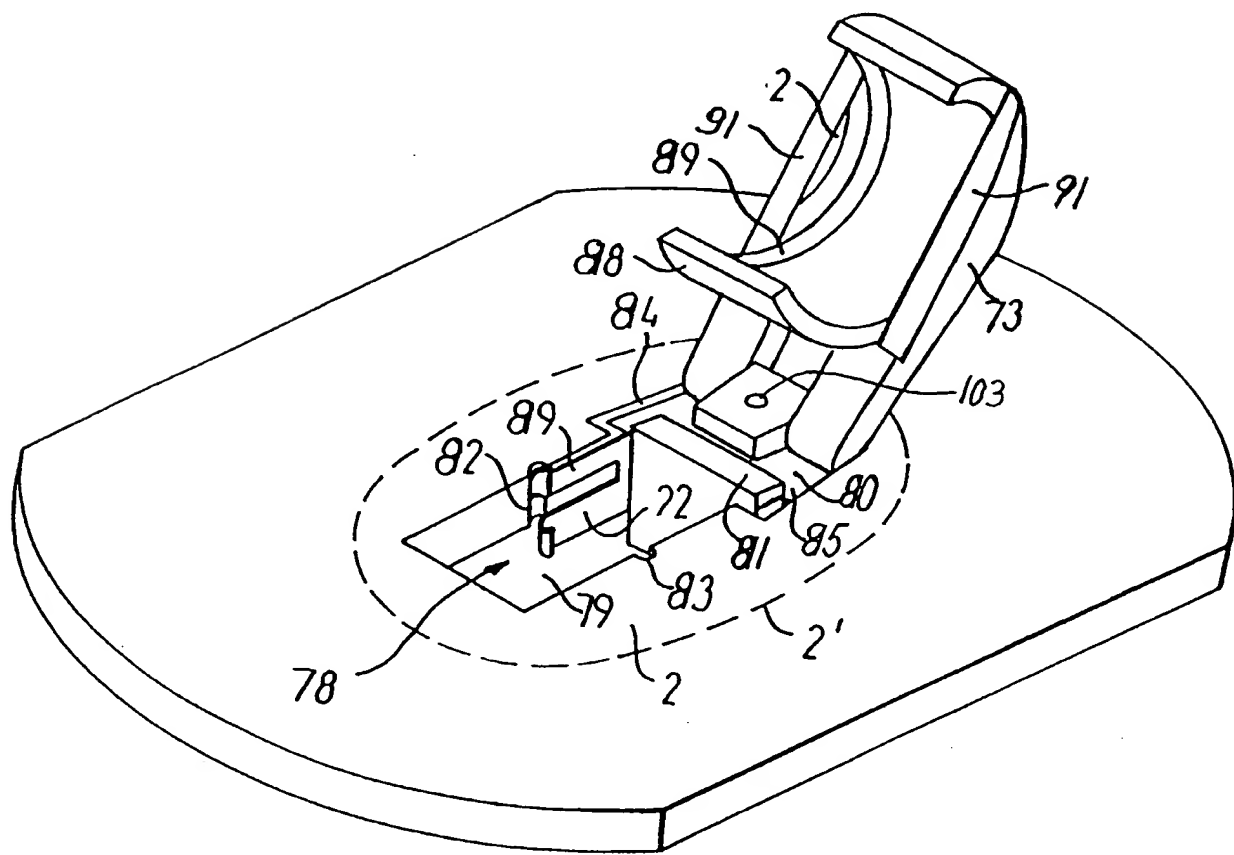


Fig. 18

12/19



13/19

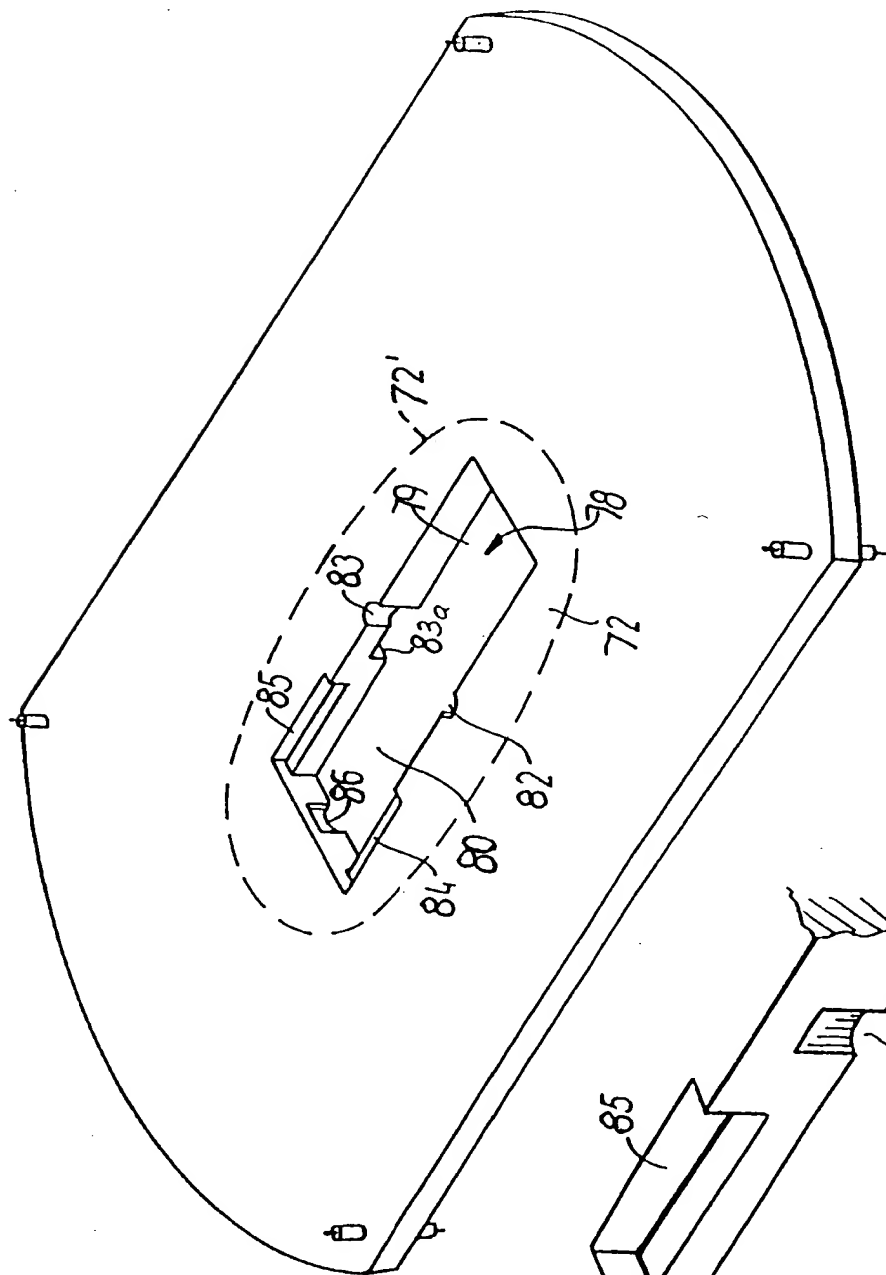


Fig. 20

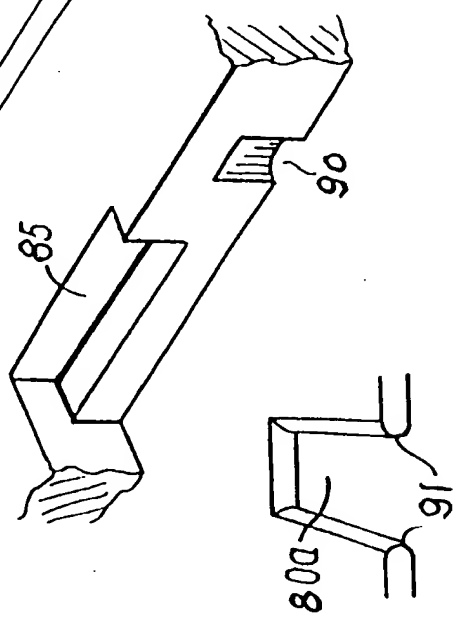


Fig. 21

Fig. 22

14/19

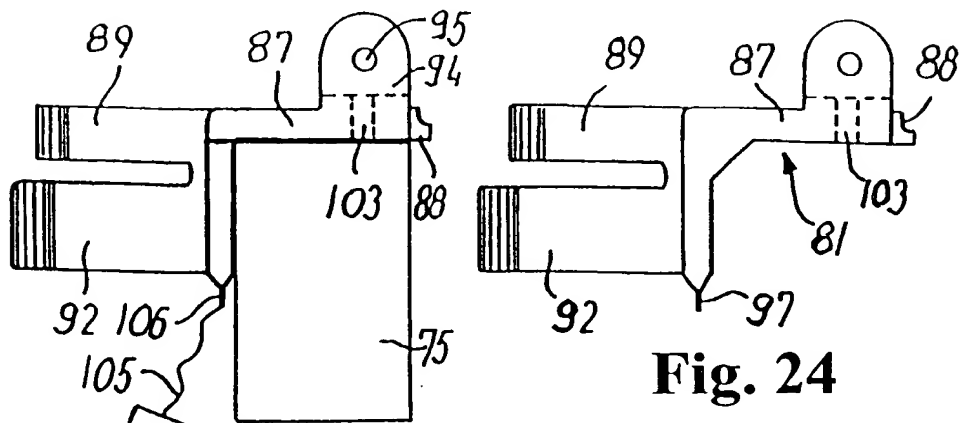


Fig. 24

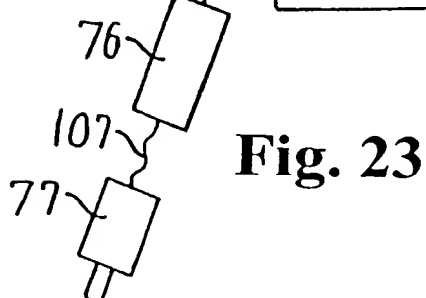


Fig. 23

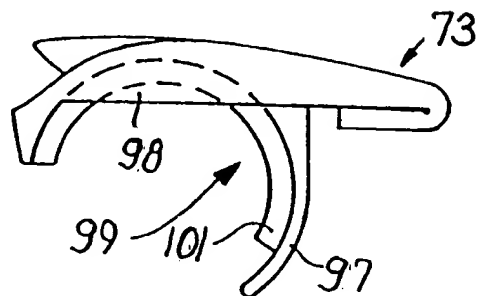


Fig. 25

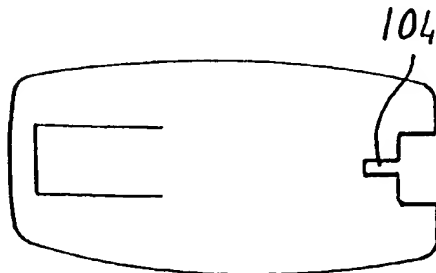


Fig. 26

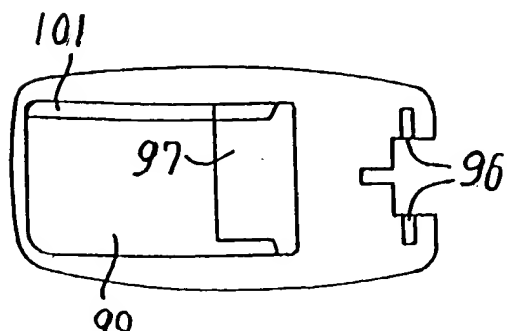


Fig. 27

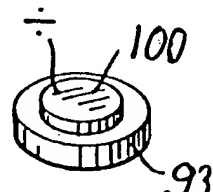


Fig. 28

15/19

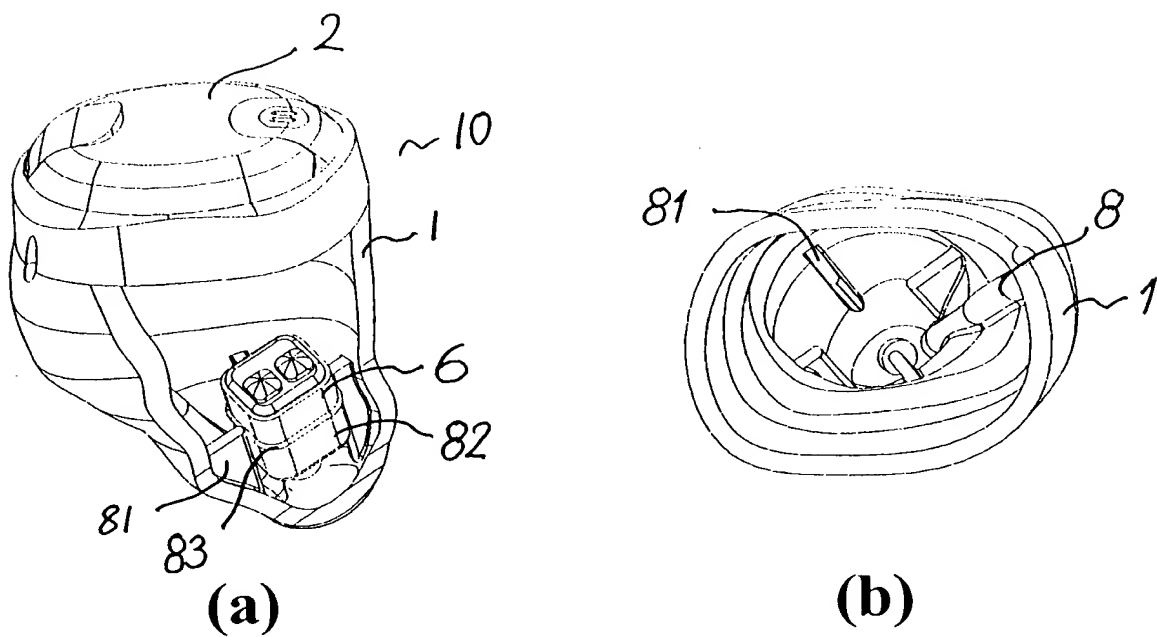


Fig. 29

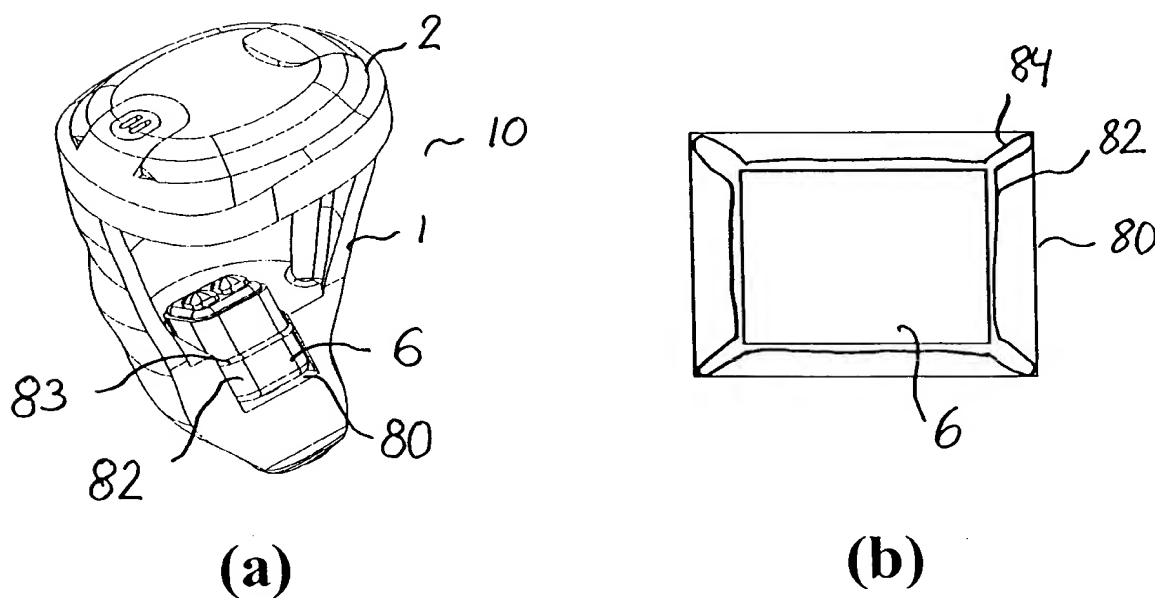
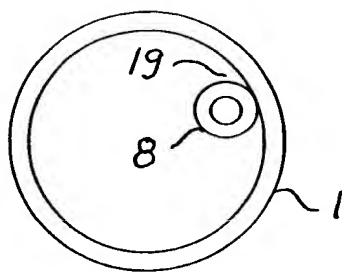
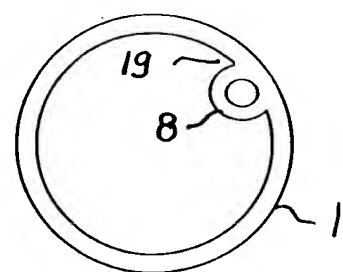


Fig. 30

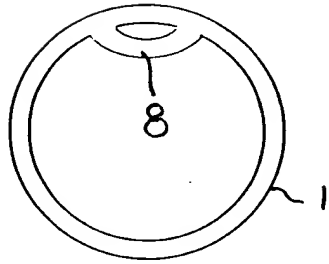
16/19



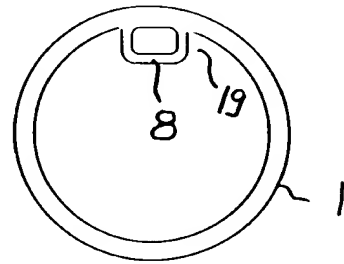
(a)



(b)



(c)



(d)

Fig. 31

17/19

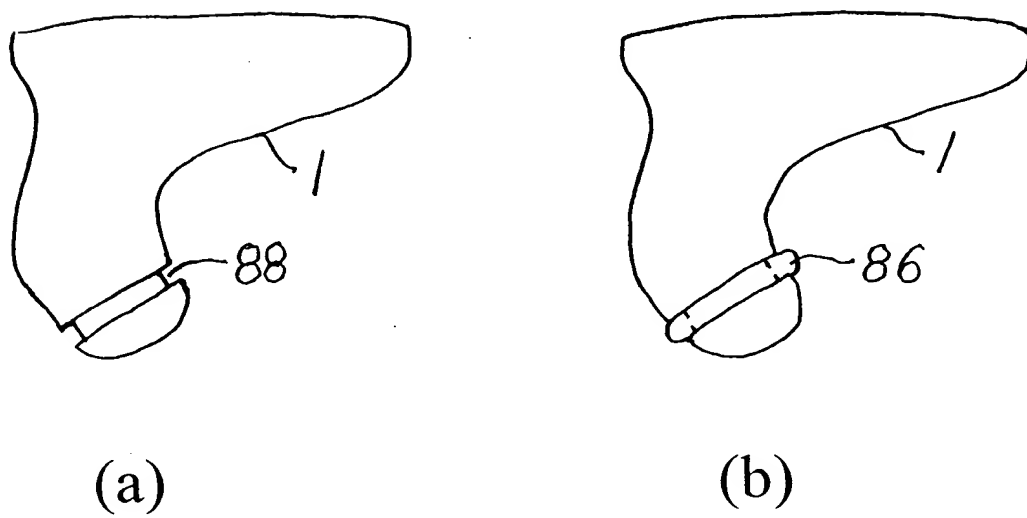


Fig. 32

18/19

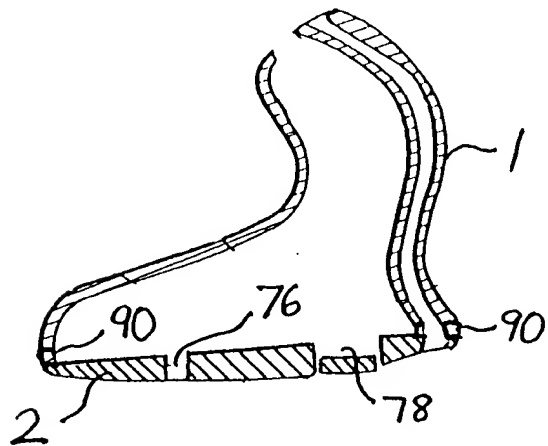


Fig. 33

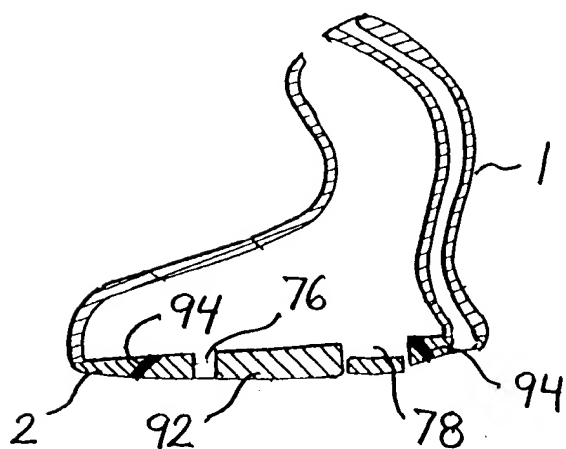


Fig. 34

19/19

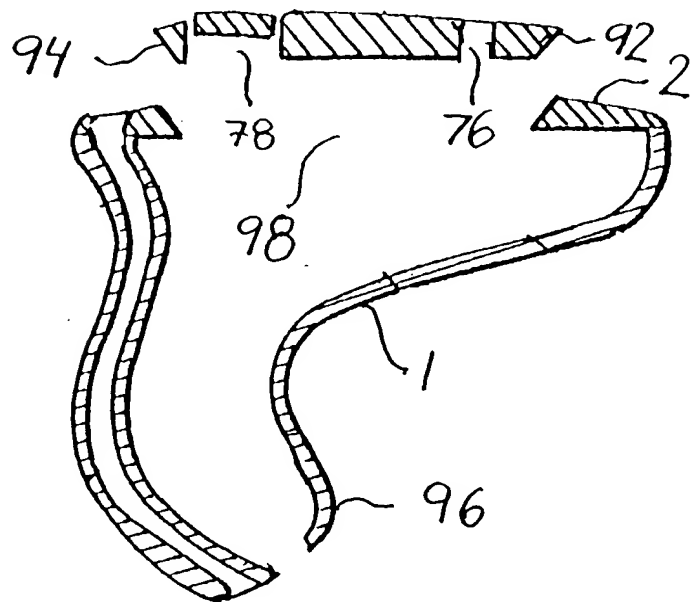
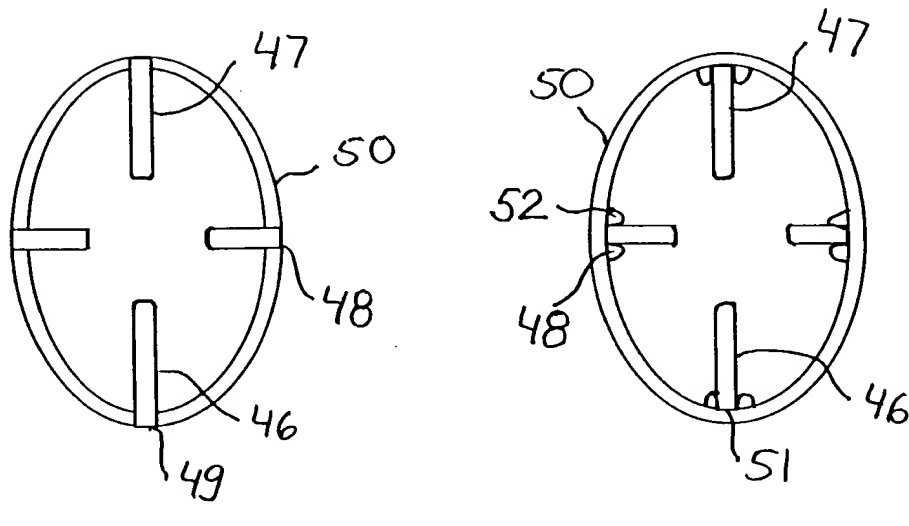


Fig. 35



(a)

(b)

Fig. 36